



# PHÂN TÍCH KHẢ NĂNG CHỊU UỐN CỦA TƯỜNG BÊ TÔNG CỐT THÉP KHI CHỊU TÁC ĐỘNG DO NỔ

Nguyễn Trường Thắng<sup>1</sup>, Nguyễn Hoàng Anh<sup>2</sup>

**Tóm tắt:** Trong thời gian gần đây, đã xảy ra nhiều sự cố cháy nổ tại các công trình dân sự do chập điện, nổ khí ga, cháy nổ phương tiện cơ giới... Tác động do nổ lên công trình ngày càng trở nên đáng quan tâm và sẽ là một trong những yêu cầu đặt ra trong quá trình thiết kế, nhất là đối với các dự án quan trọng. Bài báo này giới thiệu nguyên tắc chung về phân tích khả năng chịu uốn của tường bê tông cốt thép khi chịu tác động do nổ. Thông qua một thí dụ thực tế, ảnh hưởng của hàm lượng cốt thép và bề dày tường tới khả năng chịu lực, độ cứng, chuyển vị và độ dẻo của kết cấu được khảo sát nhằm đưa ra khuyến cáo về những giải pháp phù hợp với các yêu cầu thiết kế khác nhau cho tường bê tông cốt thép khi chịu tác động do nổ.

**Từ khóa:** Tường; bê tông cốt thép; chịu uốn; tải trọng nổ; kết cấu bảo vệ.

**Summary:** Recently, there have been incidents in civilian buildings due to short circuit, gas or vehicle explosion, etc. Explosive action on buildings, so-called blast load, is becoming considerable and to be taken into account in design, especially for important projects. In this paper, general principles in analyzing the flexural resistance of reinforced concrete walls subjected to blast load are introduced. A case study is conducted and recommendations on suitable solutions for various design requirements are also given based on parametric studies on the effects of reinforcement ratio and wall thickness on the load resistance, stiffness, deflection, and the ductility of reinforced concrete walls when subjected to blast load.

**Keywords:** Wall; reinforced concrete; flexure; blast load; protective structure.

Nhận ngày 12/6/2015, chỉnh sửa ngày 26/6/2015, chấp nhận đăng 30/9/2015



## 1. Giới thiệu

Trong thời gian qua, xuất phát từ các nguyên nhân khác nhau như chập điện, nổ khí ga, nổ kho xăng, cháy nổ phương tiện cơ giới..., nhiều vụ cháy nổ đã xảy ra trong các công trình dân dụng và công nghiệp tại nhiều địa phương, gây thiệt hại lớn về người và tài sản. Khi sự cố xảy ra, tác động do nổ lên kết cấu công trình là rất đáng kể và có thể dẫn tới sụp đổ một phần hoặc toàn bộ công trình. Cho đến nay, tiêu chuẩn thiết kế hiện hành của Việt Nam cho các công trình dân sự chưa đề cập tới việc xác định tác động do nổ và thiết kế kết cấu chịu tải trọng nổ. Trong khi đó, các tổ chức chính phủ, phi chính phủ và các doanh nghiệp trong và ngoài nước khi đầu tư xây dựng tại Việt Nam có thể yêu cầu kỹ sư kết cấu đưa ra giải pháp thiết kế cho công trình trong trường hợp có xảy ra cháy nổ. Một trong những giải pháp thường được nghiên cứu là bố trí tường bê tông cốt thép (BTCT) tại những khu vực công trình có nguy cơ cao xảy ra cháy nổ. Tường BTCT này được xem như là một kết cấu bảo vệ và cần được tính toán và cấu tạo để có thể chịu được một tác động do nổ cho trước được xác định trong yêu cầu thiết kế.

Bài báo này giới thiệu một cách tổng quan về bản chất của tác động do nổ gây ra lên kết cấu công trình, nguyên tắc chung và một thí dụ thực tế trong việc phân tích khả năng chịu uốn của kết cấu tường bê tông cốt thép chịu tải trọng nổ trong trường hợp khoảng thời gian tác động của tải trọng nổ ( $t_n$ ) tương đối nhỏ so với khoảng thời gian cần thiết để kết cấu đạt được biến dạng cho phép lớn nhất ( $t_m$ ), cụ thể là  $t_m/t_n \geq 3$ . Thông qua việc khảo sát các thông số tính toán trong thí dụ này, các tác giả đưa ra một số khuyến cáo về

<sup>1</sup>TS, Khoa Xây dựng dân dụng và công nghiệp, Trường Đại học Xây dựng. E-mail: thangcee@gmail.com

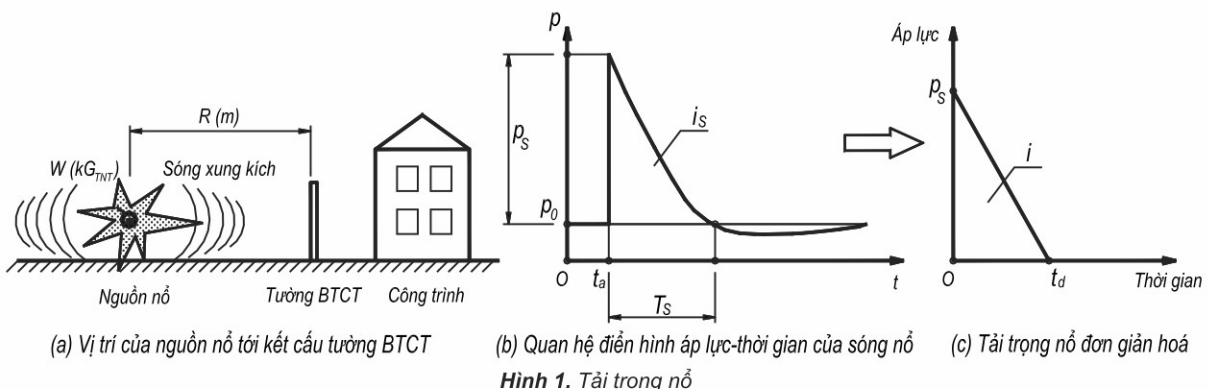
<sup>2</sup>ThS, Viện Khoa học Công nghệ Xây dựng (IBST).

những giải pháp thiết kế kết cấu phù hợp với các yêu cầu khác nhau của công trình mà yêu cầu an toàn được đặt ở mức ưu tiên tuyệt đối, công trình phải có khả năng hồi phục chức năng sử dụng sau sự cố, hoặc các công trình khác có yêu cầu an toàn ở mức thấp hơn và chú trọng hơn về các chỉ tiêu về kinh tế.

## C 2. Tài trọng nổ

Khi xảy ra nổ, một lượng lớn năng lượng được giải phóng một cách đột ngột, dòn ép mạnh không khí xung quanh và gây ra sóng xung kích trong không khí hướng từ nguồn nổ ra ngoài với tốc độ rất lớn. Trên đường đi, sóng này sẽ gây ra trên bất kỳ vật cản nào trong một khoảng thời gian rất ngắn một áp lực có giá trị lớn hơn nhiều so với áp suất khí quyển. Độ lớn của áp lực nổ này phụ thuộc vào độ lớn của nguồn nổ (quy về khối lượng chất nổ TNT tương đương) và vào khoảng cách từ vật cản tới nguồn nổ. Đối với công trình, áp lực do nổ có thể được quy về dưới dạng tải trọng nổ.

Tải trọng nổ tác động lên công trình có thể được đơn giản hóa và được biểu diễn bởi một đường quan hệ áp lực - thời gian có dạng hình tam giác, với khoảng thời gian tác dụng rất nhỏ chỉ khoảng vài mili-giây (Hình 1). Nếu  $t_m/t_d \geq 3$ , tải trọng nổ có thể được coi là tải trọng xung động phân bố đều, được biểu diễn bởi diện tích của hình tam giác và được gọi là xung lực đặc trưng  $i=0.5p_s t_d$  [1-3].



(a) Vị trí của nguồn nổ tới kết cấu tường BTCT      (b) Quan hệ diễn hình áp lực-thời gian của sóng nổ      (c) Tải trọng nổ đơn giản hóa  
Hình 1. Tải trọng nổ

Đại lượng  $p_0$  là áp suất không khí tại điều kiện thường,  $p_s$  là áp lực cực đại tại đỉnh sóng xung kích đầu tiên xuất phát từ nguồn nổ. Có nhiều tác giả đưa ra công thức xác định  $p_s$ , trong đó các công thức thực nghiệm của Smith và Hetherington [3] được sử dụng phổ biến hơn cả:

$$p_s = \frac{6.7}{Z^3} + 1 \text{ (bar)} \quad \text{khi } p_s > 10 \text{ bar} \quad (1)$$

$$p_s = \frac{0.975}{Z} + \frac{1.455}{Z^2} + \frac{5.850}{Z^3} - 0.019 \text{ (bar)} \quad \text{khi } 0.1 \leq p_s \leq 10 \text{ bar} \quad (2)$$

trong đó  $Z$  là khoảng cách quy đổi  $Z=R/W^{1/3}$  (tính bằng m/kG<sup>1/3</sup>);  $R$  là khoảng cách vật lý từ nguồn nổ tới kết cấu (tính bằng mét) và  $W$  là khối lượng nguồn nổ tương đương (tính bằng kilogram chất nổ TNT).

Thời gian tác động của tải trọng nổ có thể được tính theo công thức sau [3]:

$$t_d = \frac{980[1+(Z/0.54)^{10}]}{[1+(Z/0.02)^3][1+(Z/0.74)^6][1+(Z/6.9)^2]^{1/2}} \times \sqrt[3]{W} \times 10^{-3} \text{ (giây)} \quad (3)$$

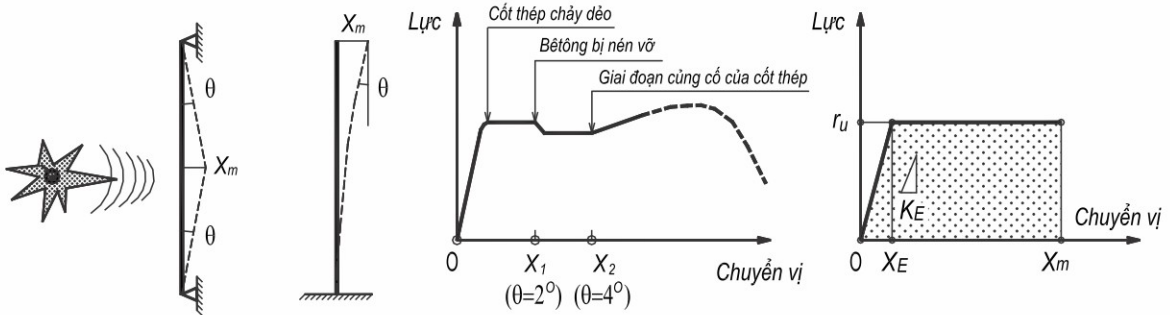
## C 3. Cường độ của vật liệu khi chịu tải trọng động

Vật liệu có cường độ cao hơn khi chịu tải trọng động (biến đổi nhanh trong thời gian ngắn) so với khi chịu tác động tĩnh. Các thí nghiệm tiêu chuẩn xác định cường độ vật liệu đều được tiến hành với một mức độ gia tải nhất định [4]. Nếu tăng tốc độ gia tải, nghĩa là mẫu bê tông bị nén nhanh hơn, thí nghiệm cho thấy bê tông đạt cường độ cao hơn [1]. Cả bê tông và cốt thép đều có cường độ cao hơn ứng với giá trị cao hơn của tốc độ tăng của biến dạng tỷ đối gây bởi tải trọng động. Độ tăng này được biểu thị bằng hệ số tăng cường độ do hiệu ứng động DIF (Dynamic Increase Factor). Thông thường, các giá trị của hệ số DIF cho cường độ thiết kế của bê tông khi chịu nén và uốn là từ 1.15 đến 1.25, cho giới hạn chảy của cốt thép là từ 1.10 tới 1.20 và cho giới hạn bền của cốt thép là 1.05 [1]. Như vậy, khả năng chịu lực của kết cấu BTCT có thể được tăng cường khi chịu tải trọng nổ.



## 4. Ứng xử của kết cấu BTCT khi chịu tải trọng nén

Ứng xử của kết cấu BTCT chịu uốn dưới tác động của tải trọng nén có thể được chia thành hai giai đoạn. Tại thời điểm vài mili-giây ban đầu ngay sau khi chịu tải trọng nén, kết cấu BTCT hấp thụ năng lượng của tải trọng nén bằng biến dạng phát triển khi kết cấu chuyển vị với tốc độ lớn. Ngay sau đó, lớp bê tông bảo vệ phía mặt ngoài kết cấu có thể bị phá hủy và vỡ thành từng mảng đồng thời với sự xuất hiện của vết nứt ở vùng chịu kéo và bê tông trong vùng chịu nén bị ép vỡ. Đường quan hệ giữa khả năng chịu lực và chuyển vị của kết cấu BTCT khi chịu tải trọng nén được minh họa ở Hình 2(c,d).

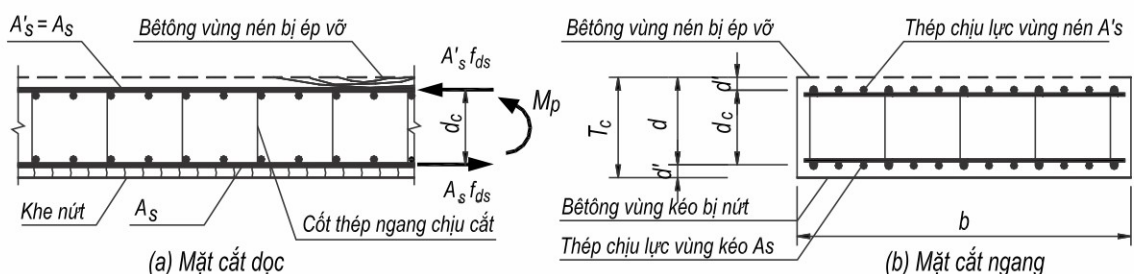


(a) Kết cấu gối đơn giản (b) Kết cấu công són (c) Quan hệ lực - chuyển vị (d) Quan hệ lực - chuyển vị đơn giản hóa

Hình 2. Ứng xử của kết cấu BTCT khi chịu tải trọng nén

Trong giai đoạn thứ nhất, chuyển vị của kết cấu được biểu diễn bởi góc xoay  $\theta$  tăng từ  $0^\circ$  đến  $2^\circ$  (Hình 2(a,b)). Trong giai đoạn này vùng bê tông chịu nén chưa bị ép vỡ. Khả năng chịu uốn tối hạn  $M_p$  có thể được xác định bằng lý thuyết dẻo cổ điển áp dụng trên BTCT dựa trên cường độ chịu tải động thiết kế của bê tông ( $f_{dc}$ ) và cốt thép ( $f_{ds}$ ). Trong giai đoạn thứ hai, góc xoay  $\theta$  tiếp tục tăng cho đến khi cốt thép chịu kéo bước vào giai đoạn cung cống tại  $\theta \approx 4^\circ$ , với điều kiện cốt thép dọc chịu lực phải được liên kết bởi cốt thép ngang đủ lớn và có cấu tạo đặc biệt [2]. Tại trạng thái tối hạn khi vùng bê tông chịu nén trên tiết diện bị ép vỡ, lực nén được chuyển hết từ bê tông sang cốt thép dọc chịu nén đặt đối xứng có tiết diện  $A_s = A'_s = \rho_s b d_c$  [5]. Khả năng chịu uốn tối hạn  $M_p$  tính trên một đơn vị chiều rộng tường có thể được tính theo biểu thức (4), trong đó  $d_c$  là khoảng cách giữa trọng tâm hai lớp cốt thép,  $\rho_s$  là hàm lượng cốt thép và  $b$  là bề rộng tiết diện ngang của cầu kiên (Hình 3).

$$M_p = \frac{A_s f_{ds} d_c}{b} = \frac{A_s}{b d_c} \cdot f_{ds} \cdot d_c^2 = \rho_s \cdot f_{ds} \cdot d_c^2 \quad (4)$$



Hình 3. Khả năng chịu lực của tiết diện tại giai đoạn 2 (góc xoay  $\theta \approx 4^\circ$ )

Nguyên tắc thiết kế cầu kiên BTCT với biến dạng uốn  $\theta$  nhỏ hơn  $4^\circ$  là cầu kiên phải đạt được cường độ chịu uốn và độ dẻo (được định nghĩa là tỷ số  $\mu = X_m/X_E$ ) sao cho động năng gây bởi tải trọng nén có thể được hấp thu hoàn toàn bởi năng lượng biến dạng phát triển khi cầu kiên chuyển vị tức thời đến giá trị cực đại  $X_m$  (phản diện tích trong Hình 2(d)). Tức là:

$$\frac{i^2}{2 K_{LM} \cdot m} = \frac{r_u \cdot X_E}{2} + r_u \cdot (X_m - X_E) \quad (5)$$

trong đó:  $i$  là xung lực  $i=0.5p_s t_d$ ;  $K_{LM}$  là hệ số lực - khối lượng được tra bảng phụ thuộc tải trọng nổ và dạng liên kết [1];  $m$  là khối lượng đơn vị của cấu kiện;  $r_u$  là khả năng chịu lực đơn vị của cấu kiện;  $X_E$  là chuyển vị tương ứng tại giới hạn đàn hồi  $X_E=r_u/K_E$  (Hình 2(d)) và  $K_E$  là độ cứng đơn vị đàn hồi tương đương được tra bảng phụ thuộc tải trọng nổ và dạng liên kết [1].

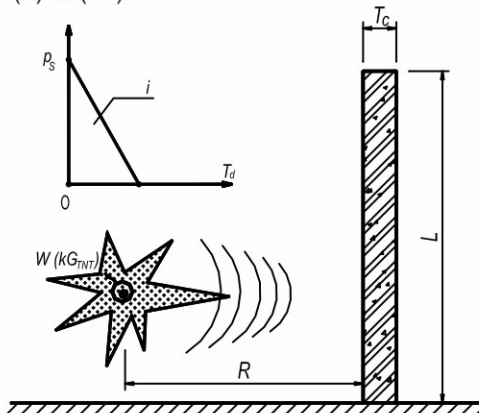
Khi tăng giá trị  $dc$  cao hơn giá trị thiết kế,  $X_m$  có thể được xác định bằng công thức:

$$X_m = \frac{i^2}{2 \cdot K_{LM} \cdot m \cdot r_u} + \frac{X_E}{2} \quad (6)$$

### C 5. Phân tích khả năng chịu uốn của tường BTCT chịu tải trọng nổ

Xét tường BTCT làm việc một phương được coi là kết cấu công sơn liên kết cứng tại cốt móng (Hình 4). Quan hệ giữa bê dày tường  $T_c$  với khoảng cách  $d_c$  giữa trọng tâm hai lớp cốt thép là  $T_c=d_c+2d'$  (7), với  $d'$  là khoảng cách từ trọng tâm cốt thép tới mặt ngoài tường (Hình 3). Khối lượng đơn vị của tường ở trạng thái phá hoại là  $m=\gamma_c \cdot d_c$  (8), với trọng lượng riêng của BTCT là  $\gamma_c=2400 \text{ kG/m}^3$ . Khi tường chịu tải trọng nổ  $p_s$  trong khoảng thời gian  $t_d$ , trước hết giả thiết  $t_m/t_d \geq 3$  để có thể sử dụng nguyên tắc cân bằng năng lượng đối với tải trọng xung động trong biểu thức (5). Với kết cấu công sơn chịu tải trọng phân bố đều, ta có thể tra bảng để xác định  $r_u=2M_p/L^2$  (9) và  $K_E=8E_c I/L^4$  (10) với  $L$  là chiều cao tường,  $E_c$  là môđun đàn hồi của bê tông và  $I$  là mômen quán tính của tiết diện tường có kẽ tới ảnh hưởng của nứt,  $I=F.b.d_c^3$  (11) với hệ số  $F$  là hệ số phụ thuộc hệ số đàn hồi  $n=E_s/E_c$  [1].

Thay các giá biểu thức nêu trên vào biểu thức (5), ta có thể xác định được  $dc$  từ một phương trình bậc 3, từ đó xác định các thông số còn lại. Nếu điều kiện  $t_m/t_d \geq 3$  được thỏa mãn, các thông số sử dụng cho phân tích kết cấu tường là  $r_u$ ,  $K_E$  và độ dẻo  $\mu=X_m/X_E$  có thể được xác định trực tiếp bằng cách thay giá trị  $d_c$  vừa tìm được vào các biểu thức (9) và (10).



Hình 4. Tường BTCT chịu tải trọng nổ

### C 6. Thí dụ thực tế

Tiến hành phân tích khả năng chịu uốn của tường BTCT công sơn có chiều cao  $L=4m$ , chịu tác động của tải trọng nổ  $p_s=1500 \text{ kPa}$  xảy ra trong khoảng thời gian  $t_d=4 \text{ ms}$  (tương đương nguồn nổ  $W=275.6 \text{ kG}$  TNT đặt tại khoảng cách  $R=5.0 \text{ m}$ ). Kết cấu có khả năng chuyển vị tương đương với góc xoay  $0^\circ < \theta < 4^\circ$ , tương đương mức độ phá hoại II theo TM5-1300 [2].

Giả thiết sử dụng cốt thép đường kính  $\Phi 20$  và lớp bê tông bảo vệ là  $a=40 \text{ mm}$ , ta có:  $d'=a+0.5 \times \Phi=0.05(\text{m})$  và  $d_c=T_c-2 \times d'=T_c-0.1(\text{m})$ . Xét một đoạn tường dài  $b=1 \text{ m}$ , giả thiết hàm lượng cốt thép chịu kéo và chịu nén là bằng nhau  $\rho_{sc}=\rho_{st}=\rho_s=0.8\%$ .

Với  $F=0.04112$  ứng với hệ số đàn hồi  $n=E_s/E_c=8.0$  [1], mômen quán tính của tiết diện khi bị nứt là  $I=F.b.d_c^3=0.04112 \times 1 \times d_c^3 (\text{m}^4)$ .

Bê tông có cường độ chịu nén trên mẫu lập phương ở 28 ngày tuổi  $f_{cu}=30 \text{ N/mm}^2$ , môđun đàn hồi  $E_c=25000 \text{ N/mm}^2$ . Cốt thép có giới hạn chảy  $f_y=300 \text{ N/mm}^2$ , giới hạn bền  $f_u=400 \text{ N/mm}^2$ , môđun đàn hồi  $E_s=200000 \text{ N/mm}^2$ . Với các hệ số tăng cường độ do hiệu ứng động xác định từ tiêu chuẩn [2], cường độ vật liệu làm việc chịu uốn khi chịu tải trọng động là:



$$\text{Đối với bê tông: } f_{dcu} = 1.25 \times f_{cu} = 37.5(\text{N/mm}^2) \quad (11)$$

$$\text{Đối với cốt thép: } f_{dy} = 1.20 \times f_y = 360(\text{N/mm}^2) \quad f_{du} = 1.05 \times f_u = 420(\text{N/mm}^2) \quad (12)$$

$$\text{Cường độ tính toán: } f_{ds} = f_{dy} + 0.25 \times (f_{du} - f_{dy}) = 375(\text{N/mm}^2) \quad (13)$$

$$\text{Khả năng chịu uốn tới hạn (4): } M_p = \rho_s \cdot f_{ds} \cdot d_c^2 = 3.0 \times 10^6 \times d_c^2 (\text{Nm/m}) \quad (14)$$

$$\text{Khả năng chịu lực đơn vị tới hạn: } r_u = \frac{2M_p}{L^2} = 0.375 \times 10^6 \times d_c^2 (\text{N/m}^2) \quad (15)$$

$$\text{Độ cứng đơn vị đòn hồi tương đương: } K_E = \frac{8EJ}{L^4} = 3.212133 \times 10^7 \times d_c^3 (\text{N/m}^2) \quad (16)$$

$$\text{Chuyển vị đòn hồi tương đương: } X_E = \frac{r_u}{K_E} = 0.01167 \times \frac{1}{d_c} (\text{m}) \quad (17)$$

$$\text{Chuyển vị tức thời cực đại: } X_m = L \cdot \tan(4^\circ) = 0.2797(\text{m}) \quad (18)$$

$$\text{Khối lượng đơn vị: } m = \rho_c \cdot d_c = 2400 \times d_c (\text{kG/m}^2) \quad (19)$$

$$\text{Hệ số lực-khối lượng tra bảng [1]: } K_{LM} = 0.66 \quad (20)$$

$$\text{Giả thiết tải trọng xung động với xung lực đơn vị là: } i = \frac{P \cdot t_d}{2} = 3000(\text{N.s/m}^2) \quad (21)$$

Từ biểu thức (5) về cân bằng năng lượng cơ bản, ta có:

$$\frac{i^2}{2K_{LM} \cdot m} = \frac{r_u \cdot X_E}{2} + r_u \cdot (X_m - X_E) = r_u \cdot (X_m - \frac{X_E}{2}) \quad (22)$$

$$\text{Thay vào biểu thức (22): } \frac{3000^2}{2 \times 0.66 \times 2400 \times d_c} = 0.375 \times 10^6 \times d_c^2 \times (0.2797 - \frac{0.01167}{2 \times d_c}) \quad (23)$$

$$\text{Giản ước biểu thức (23) ta có: } 332.292 \times 10^6 \times d_c^3 - 6.934 \times 10^6 \times d_c^2 - 9 \times 10^6 = 0 \quad (24)$$

Giải phương trình bậc 3 trong biểu thức (24) cho nghiệm  $d_c=0.310\text{m}$ .

Thay  $d_c=0.31\text{m}$  vào biểu thức (7) ta có bê dày tường là:  $T_c = d_c + 2d' = 0.41(\text{m})$

Thay  $d_c=0.31\text{m}$  vào biểu thức (15) ta có khả năng chịu lực đơn vị  $r_u = 36038(\text{N/m}^2)$

Thời gian để đạt được chuyển vị cực đại:  $t_m = \frac{i}{r_u} = 0.08325(\text{s}) = 83.25(\text{ms})$

Kiểm tra  $\frac{t_m}{t_d} = 20.81 > 3$ . Vậy giả thiết ban đầu với tải trọng xung động là đúng.

Thay  $d_c=0.31\text{m}$  vào (16) ta có độ cứng đòn hồi đơn vị tương đương:  $K_E = 956927(\text{N/m}^2)$

Thay  $d_c=0.31\text{m}$  vào biểu thức (17) ta có chuyển vị đòn hồi tương đương:  $X_E = 0.03766(\text{m})$

Cuối cùng ta có độ dẻo tính theo công thức:  $\mu = \frac{X_m}{X_E} = \frac{0.2797}{0.03766} = 7.43$

Diện tích cốt thép chịu uốn là  $A_s = \rho_s b d_c = 2480 (\text{mm}^2/\text{m})$  - Chọn  $\Phi 20@125$  một bên ( $A'_s=A_s=2513 \text{ mm}^2/\text{m}$ ). Các số liệu trong tính toán được tổng hợp trong Bảng 1.

**Bảng 1. Tổng hợp số liệu thiết kế chống uốn**

$\rho_s$ (%)	$d_c$ (m)	$T_c$ (m)	$r_u$ (N/m <sup>2</sup> )	$K_E$ (N/m <sup>2</sup> )	$X_E$ (m)	$\mu$	Cốt thép
0. 8	0.31	0.41	36038	956927	0.03766	7.43	$\Phi 20@125$

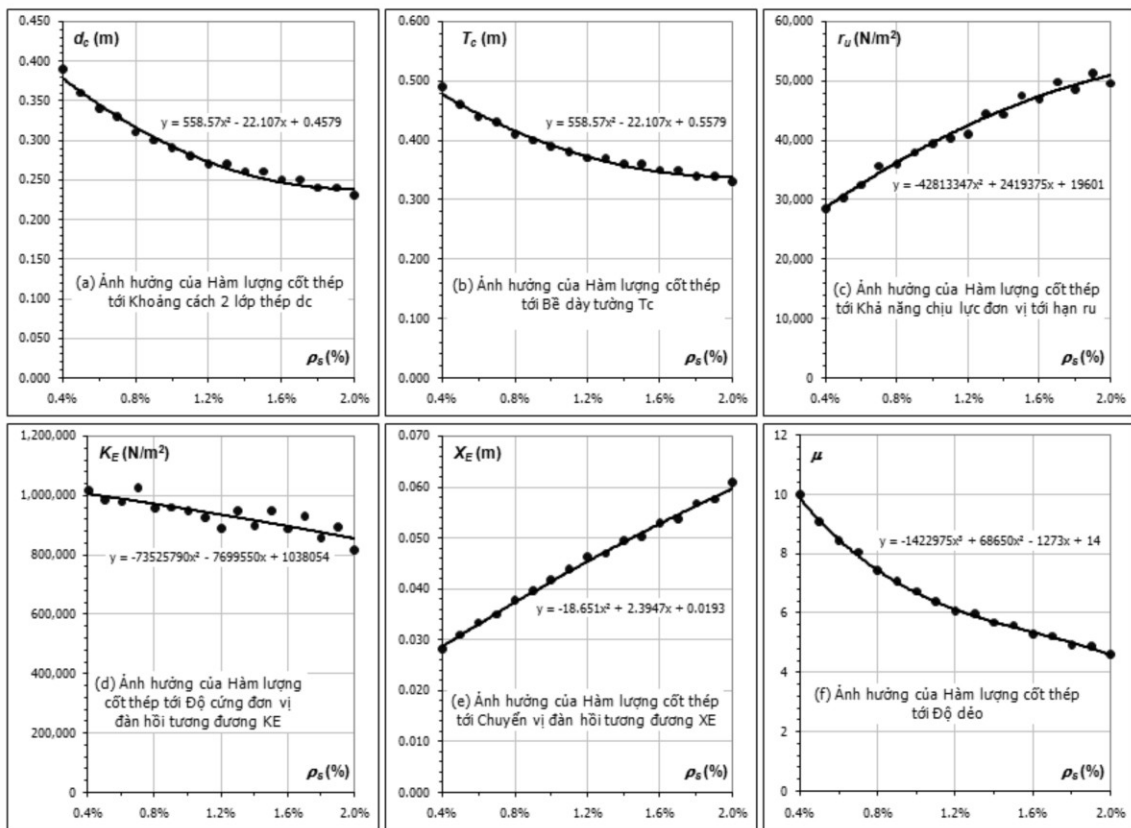
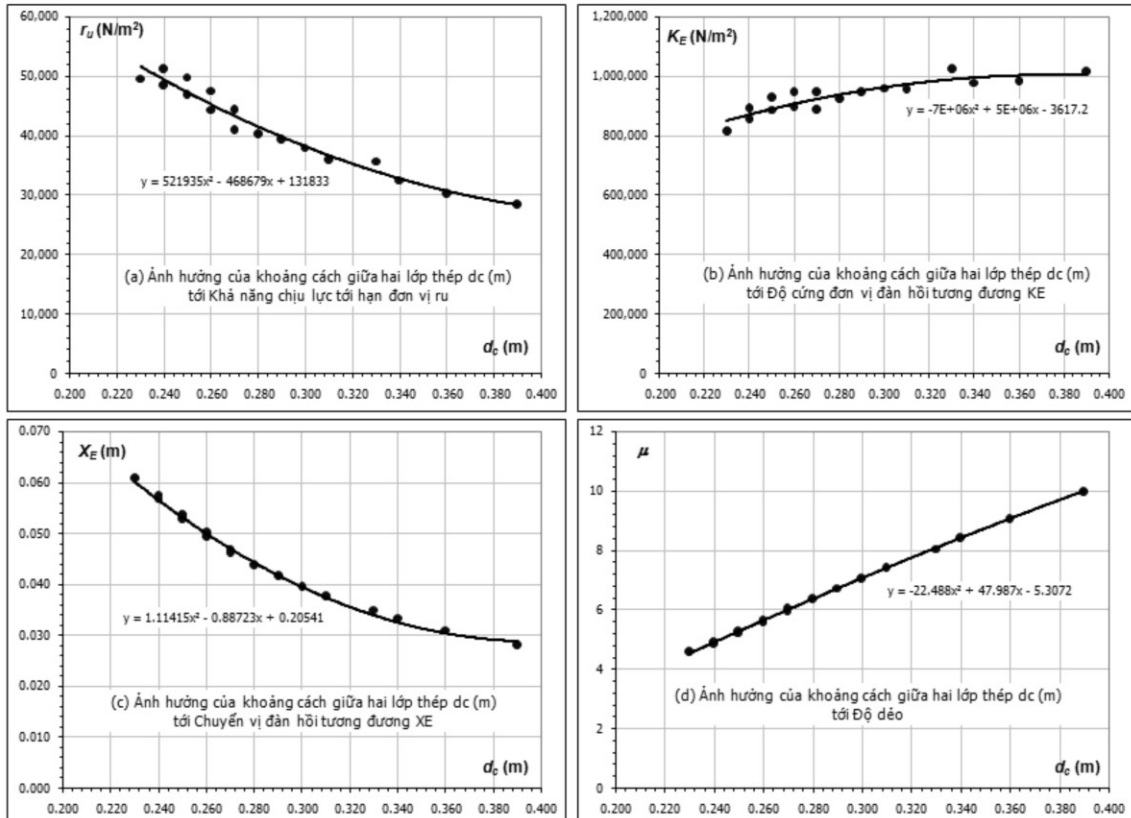


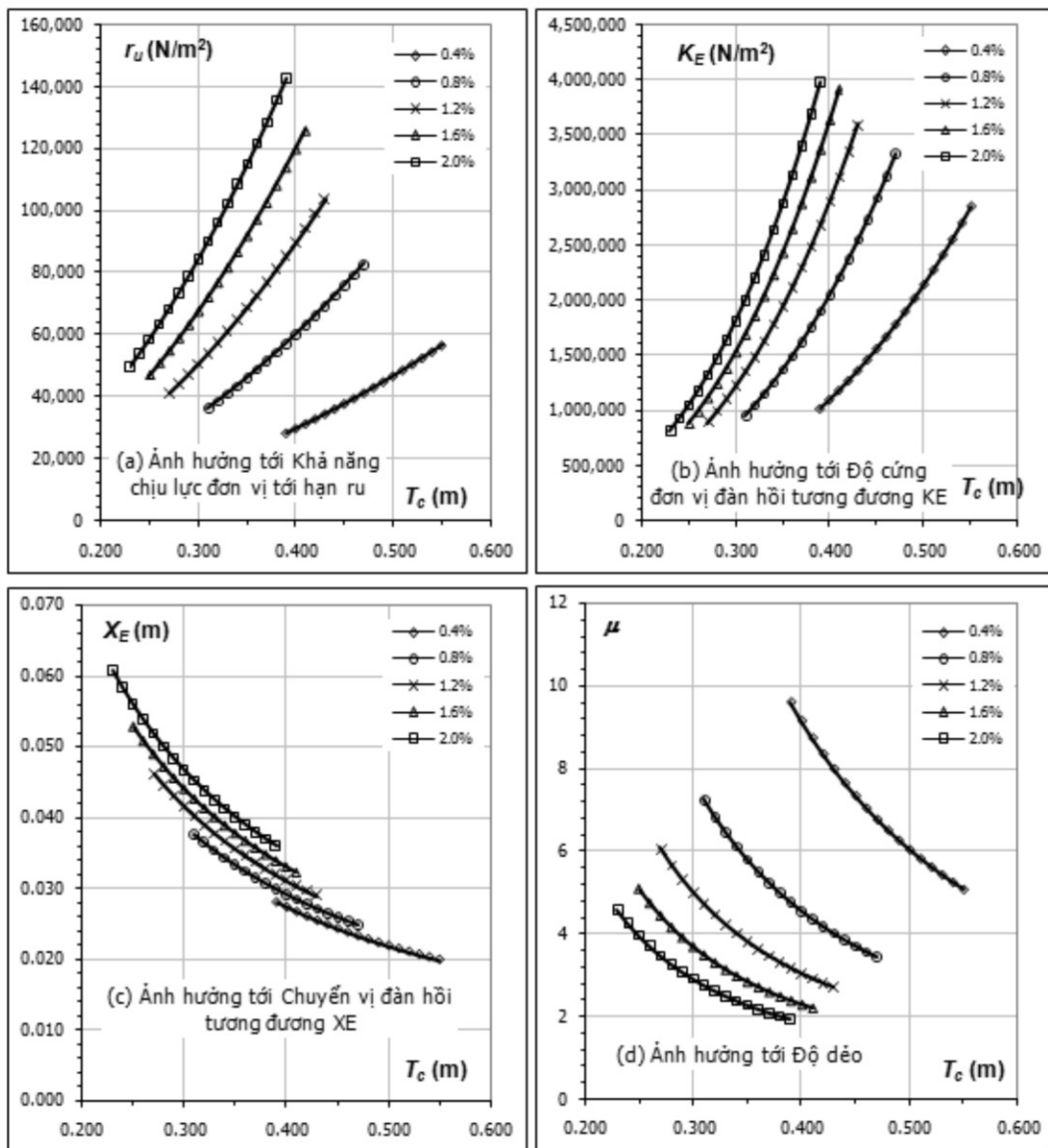
## 7. Khảo sát ảnh hưởng của $\rho_s$ và $T_c$ đến các thông số thiết kế

Dựa vào thí dụ thực tế trình bày trong Mục 6, một công cụ bản tính trên nền MS Spreadsheet được thiết lập nhằm thực hiện tính toán tự động cho nhiều trường hợp khi thay đổi các thông số thiết kế. Ảnh hưởng của hàm lượng cốt thép ( $\rho_s$ ) và bê dày tường ( $T_c$ ) đến khả năng chịu lực đơn vị tới hạn ( $r_u$ ), độ cứng đòn hồi đơn vị tương đương ( $K_E$ ), chuyển vị đòn hồi tương đương ( $X_E$ ) và độ dẻo ( $\mu$ ) được tiến hành khảo sát theo hai cách:

(1) Tăng  $\rho_s$  từ 0.4 tới 2.0% với số gia 0.1%, kết quả được thể hiện trên các Hình 5 và 6;

(2) Tăng  $T_c$  từ bê dày thiết kế với số gia 0.1m trong khi giữ nguyên  $\rho_s$ , kết quả được thể hiện trên Hình 7.

Hình 5. Ảnh hưởng của hàm lượng cốt thép  $\rho_s$  (%) tới các thông số thiết kếHình 6. Ảnh hưởng của khoảng cách hai lớp cốt thép  $d_c$  (m) tới các thông số thiết kế



Hình 7. Khảo sát việc tăng bề dày tường  $T_c$  (m) theo hàm lượng cốt thép  $\rho_s$  (%)

Với tải trọng nổ giải phóng một nguồn năng lượng đã biết, việc phân tích tường BTCT chịu lực có thể lấy hàm lượng cốt thép dọc ( $\rho_s$ ) làm thông số cơ bản. Tăng giá trị của  $\rho_s$  từ 0.4% đến 2.0%, các biểu đồ trong Hình 5 và 6 cho thấy:

- Khoảng cách yêu cầu giữa trọng tâm hai lớp cốt thép  $d_c$  giảm, do vậy bề dày tường  $T_c$  giảm khi  $\rho_s$  tăng;
- Khả năng chịu lực đơn vị tới hạn  $r_u$  và chuyển vị đàm hồi tương đương  $X_E$  tăng khi  $\rho_s$  tăng và giảm khi  $d_c$  tăng;
- Độ cứng đàm hồi đơn vị tương đương  $K_E$  và độ dẻo  $\mu$  giảm khi tăng  $\rho_s$  và tăng khi giảm  $d_c$ .

Với một giá trị cho trước nào đó của  $\rho_s$ , tồn tại một giá trị thiết kế của  $d_c$  tương ứng. Khi tăng  $d_c$  từ giá trị thiết kế này trong khi giữ nguyên hàm lượng  $\rho_s$  nhằm khảo sát ảnh hưởng tới các thông số thiết kế khác, kết quả trong Hình 7 cho thấy:

- Khả năng chịu lực đơn vị tới hạn  $r_u$  và độ cứng đàm hồi đơn vị tương đương  $K_E$  tăng;
- Chuyển vị đàm hồi tương đương  $X_E$ , chuyển vị tới hạn  $X_m$  và độ dẻo  $\mu$  giảm;
- Tốc độ thay đổi của các thông số nói trên tăng khi hàm lượng  $\rho_s$  tăng.



## 8. Kết luận

Nếu khoảng thời gian tác động của tải trọng nổ ( $t_d$ ) nhỏ hơn ba lần so với khoảng thời gian cần thiết để kết cấu đạt được biến dạng cho phép lớn nhất ( $t_m$ ), việc phân tích khả năng chịu uốn của kết cấu tường BTCT chịu tải trọng nổ có biến dạng tương ứng với góc xoay  $\theta$  nhỏ hơn  $4^\circ$  được tiến hành dựa trên nguyên tắc cân bằng năng lượng, trong đó động năng của tải trọng được chuyển hóa thành năng lượng biến dạng sinh ra khi kết cấu chuyển vị với tốc độ lớn đến một vị trí tới hạn. Thông qua một thí dụ thực tế trên kết cấu tường công sơn và khảo sát các thông số thiết kế liên quan, có thể nhận thấy:

- Khi yêu cầu an toàn và tái sử dụng của công trình được đặt lên hàng đầu, yêu cầu thiết kế là đảm bảo cho kết cấu khả năng chịu lực đòn hồi tối đa với một chuyển vị đòn hồi tối thiểu. Như vậy phải lựa chọn hàm lượng cốt thép lớn, qua đó xác định bề dày tường nhỏ nhất tương ứng.

- Khi yêu cầu về hiệu quả kinh tế được coi trọng hơn, mục đích của thiết kế là cung cấp cho kết cấu độ dẻo tối đa. Như vậy cần lựa chọn hàm lượng cốt thép nhỏ và bề dày tường thiết kế lớn nhất tương ứng. Lúc đó kết cấu chấp nhận có biến dạng lớn và có mức độ hư hại đáng kể đủ đảm bảo an toàn tại thời điểm xảy ra nổ nhưng không có khả năng tái sử dụng.

Hướng phát triển tiếp theo của đề tài là nghiên cứu phân tích tường BTCT có các dạng kết khác nhau (liên kết hai đầu, tường có sườn...) khi chịu tác động do nổ trong cả hai trường hợp  $t_m/t_d \geq 3$  và  $t_m/t_d < 3$  và vận dụng tiêu chuẩn hiện hành của Việt Nam vào bài toán.

### Tài liệu tham khảo

1. Mays, C.G and Smith, P.D. (1995), *Blast Effects on Buildings: Design of Buildings to Optimise Resistance to Blast Loadings*, American Society of Civil Engineers, NY 10017-2398.
2. TM5-1300, *Structures to resist the effects of accidental explosions* (1990), Department of the Army, Washington, D.C.
3. Smith, P.D and Hetherington J.G (1994), *Blast and ballistic loading of structures*, Butterworth - Heinemann.
4. ACI 318-05 (2005), *Building code requirements for reinforced concrete and commentary*, American Concrete Institute, Detroit, Michigan.
5. BS 8110-1:1997, *Structural use of concrete. Part 1: Code of practice for design and construction*, British Standard Institute, London.